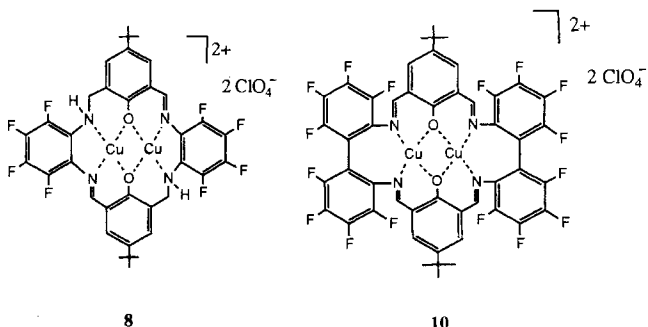


- 1817 Brychey, K., Dräger, K., Jens, K.-J., Tilset, M., Behrens\*, U.

Komplexe mit makrocyclischen Liganden, III. – Ein- und zweikernige makrocyclische Übergangsmetallkomplexe mit Liganden vom Schiff-Basen-Typ: Synthesen, Strukturen, elektro- und magnetochemische Eigenschaften

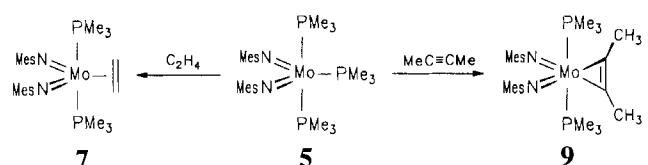
Complexes with Macroyclic Ligands, III. – Mono- and Dinuclear Macroyclic Transition Metal Complexes of Ligands of Schiff Base Type: Syntheses, Structures, Electro- and Magnetochemical Properties



- 1827 Radius, U., Sundermeyer\*, J., Pritzkow, H.

Höhervalente Derivate der d-Metall-Säuren, 14. – Diimidokomplexe  $[M(NR_2)_2(PMe_3)_2(L)]$  des vierwertigen Molybdäns und Wolframs: Struktur, Moleküldynamik und Aktivierung  $\pi$ -acider Liganden

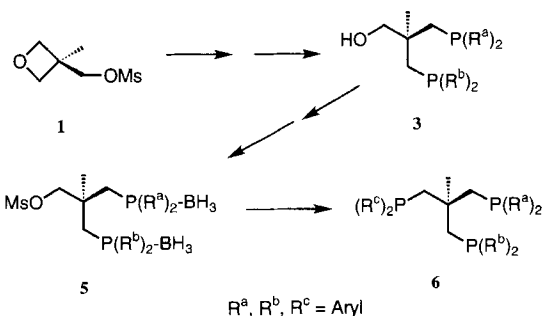
Highervalent Derivatives of the d-Metal Acids, 14. – Diimido Complexes  $[M(NR_2)_2(PMe_3)_2(L)]$  of Tetravalent Molybdenum and Tungsten: Structure, Molecular Dynamics, and Activation of  $\pi$ -Acidic Ligands



- 1837 Seitz, T., Muth, A., Huttner\*, G.

Chirale Tripod-Liganden: Ein neuer Syntheseweg zu chiralen  $C_1$ -symmetrischen Neopentyltris(phosphan)-Liganden  $H_3CC[CH_2P(R^a)_2][CH_2P(R^b)_2][CH_2P(R^c)_2]$

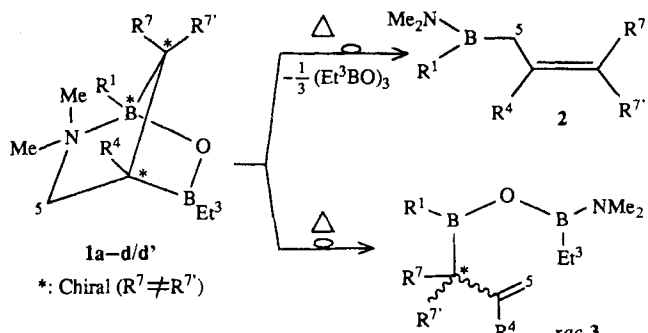
Chiral Tripod Ligands: A New Synthetic Route to Chiral  $C_1$ -symmetrical Neopentyltris(phosphane) Ligands  $H_3CC[CH_2P(R^a)_2][CH_2P(R^b)_2][CH_2P(R^c)_2]$



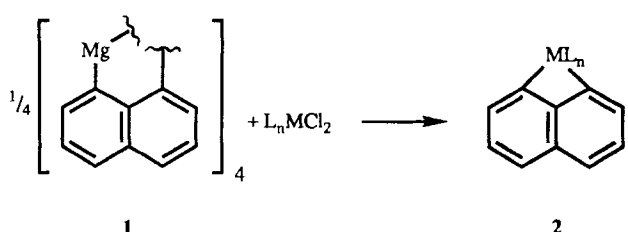
- 1843 Köster\*, R., Schüßler, W., Seidel, G., Bläser, D., Boese, R.

Umlagerung und Abbau bicyclischer Amine-Tetraorganodiboroxane

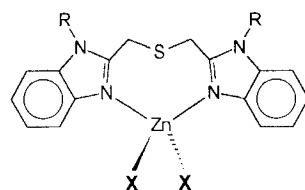
Rearrangement and Degradation of Bicyclic Amine-Tetraalkyldiboroxanes



- 1851 Tinga, M. A. G. M., Schat, G., Akkerman, O. S., Bickelhaupt\*, F., Smeets, W. J. J., Spek, A. L.
- Viergliedrige 1,8-NaphthalindiyI-Übergangsmetallacylen  
Four-Membered 1,8-NaphthalenediyI Transition Metallacycles

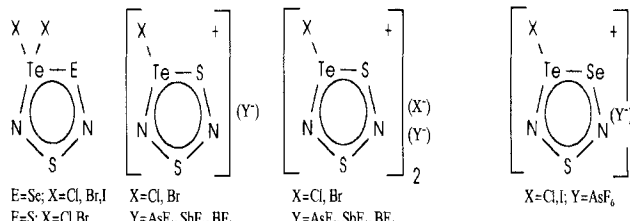


Zinkkomplexe von Bis(imidazolylmethyl)sulfiden und -oxiden  
Zinc Complexes of Bis(imidazolylmethyl) Sulfides and Oxides



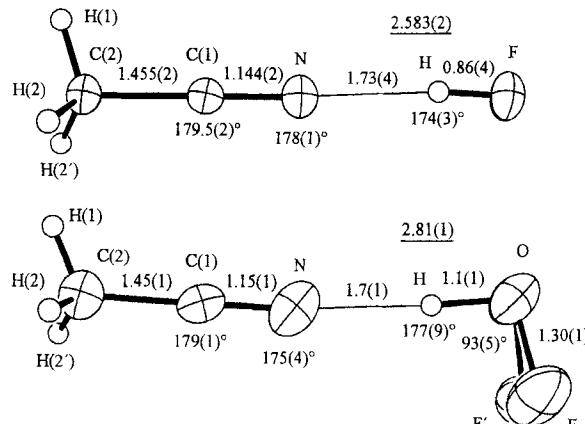
Darstellung und Charakterisierung tellurhaltiger Chalkogen-Stickstoff-Fünfringsysteme – Struktur von  $[ClTeNSNS^+]_2[Cl^-][AsF_6^-]$

Preparation and Characterisation of Five-Membered Tellurium-Containing Chalcogen-Nitrogen Ring Systems – Structure of  $[ClTeNSNS^+]_2[Cl^-][AsF_6^-]$



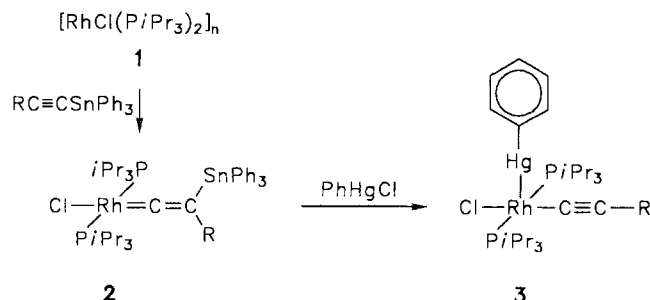
Oxidation Reactions with HO<sub>F</sub> and Adducts of HO<sub>F</sub> and HF with Acetonitrile

Oxidationsreaktionen mit HO<sub>F</sub> sowie Addukte von HO<sub>F</sub> und HF mit Acetonitril



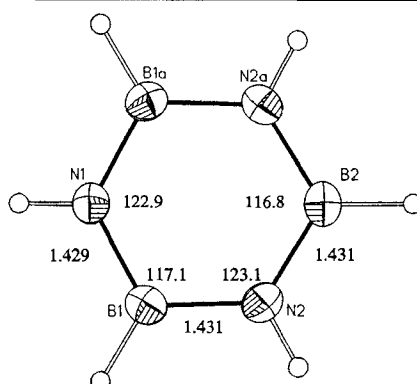
Vinyliden-Übergangsmetall-Komplexe, XXXI. – Stannylalkine als Ausgangsverbindungen für Vinylidenrhodium-Komplexe und von Heterodimetall-Verbindungen mit einer Rh–Hg- oder Rh–Sn-Bindung

Vinylidene Transition-Metal Complexes XXXI. – Stannylalkynes as Starting Materials for the Synthesis of Vinylidene Rhodium Complexes and of Heterodimetallic Compounds Containing a Rh–Hg or Rh–Sn Bond



Borazin im festen Zustand: Verdient es, als „anorganisches Benzol“ bezeichnet zu werden?

Solid State Borazine: Does it Deserve to be Entitled “Inorganic Benzene”?



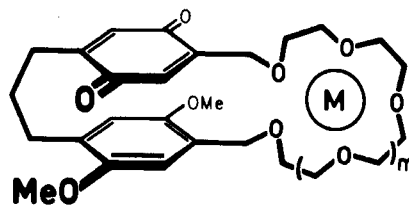
- 1891 Schmid\*, G., Reschke, J., Boese, R.**  
 1,2-Azaboroly-Komplexe, XXX. – Phosphanylsubstituierte 1,2-Azaborole  
 1,2-Azaboroly Complexes, XXX. – Phosphanyl-Substituted 1,2-Azaboroles
- 
- 1895 Bhattacharya, S., Seth, N., Gupta, V. D., Nöth\*, H., Polborn, K., Thomann, M., Schwenk, H.**  
 Synthese und Struktur von Organozinn(IV)-Komplexen von Maltol  
 Synthesis and Structure of Organotin(IV) Complexes of Maltol
- 
- 1901 Littger, R., Metzler, N., Nöth\*, H., Wagner, M.**  
 Beiträge zur Chemie des Bors, 223. – Hetero-*ansa*-überbrückte Hauptgruppen-Metallocene – eine Struktur- und NMR-Studie  
 Contributions to the Chemistry of Boron, 223. – Hetero-*ansa*-Bridged Main Group Metallocenes – a Structural and NMR Study
- 
- 1909 Linti, G., Loderer, D., Nöth\*, H., Polborn, K., Rattay, W.**  
 Beiträge zur Chemie des Bors, 226. – Reaktionen und Struktur von Elektron-präzisen Triboran(5)- und Tetraboran(6)-Derivaten  
 Contributions to the Chemistry of Boron, 226. – Reactions and Structure of Electron-Precise Triborane(5) and Tetraborane(6) Derivatives
- 
- 1923 Nöth\*, H., Staude, S., Thomann, M., Kroner, J., Paine, R. T.**  
 Beiträge zur Chemie des Bors, 225. – Reaktionen monomerer Phosphanylborane mit Säurechloriden: 1-Oxa-3-oxonia-5-phospha-2-borata-3,5-cyclohexadiene  
 Contribution to the Chemistry of Boron, 225. – Reactions of Monomeric Phosphanylboranes with Acyl Chlorides: 1-Oxa-3-oxonia-5-phospha-2-borata-3,5-cyclohexadienes
- 
- 1227 Binger\*, P., Haas, J., Glaser, G., Goddard, R., Krüger, C.**  
 Dimere Bis(trialkylphosphan)rhodiumchloride: Darstellung und Charakterisierung  
 Dimeric Bis(trialkylphosphane)rhodium Chlorides: Preparation and Characterization
-

- 1233** Camps\*, P., Farrés, X., Font-Bardia, M., Görbig, D. M., Pérez, E., Solans, X.  
Synthese und Reaktionen von 7-Oxonorbornan-2,3-di-carboximiden  
Synthesis and Reactions of 7-Oxonorbornane-2,3-di-carboximides
- 
- 1949** Brickmann, K., Hambloch, F., Spolaore, E., Brückner\*, R.  
[2,3]-Thia-Wittig-Umlagerungen von  $\alpha$ -lithiierten Sulfiden über dearomatisierte Cyclohexadien-Zwischenstufen verlaufen mit Konfigurations-Inversion am carb-anionischen Zentrum  
[2,3]-Thia-Wittig Rearrangements of  $\alpha$ -Lithiated Sulfides Via De-aromatized Cyclohexadiene Intermediates Proceed with Inversion of Configuration at the Carbanionic Center
- 
- 1959** Sacha, H., Waldmüller, D., Braun\*, M.  
Propionsäure-[(R)-1,2,2-triphenyl-2-(trimethylsilyloxy)ethyl]ester: anti-selektive und diastereofacial-selective Aldol-Addition; diastereoselektive Silylierung und Alkylierung  
(R)-1,2,2-Triphenyl-2-(trimethylsilyloxy)ethyl Propionate: anti-Selective and Diastereofacially Selective Aldol Addition; Diastereoselective Silylation and Alkylation
- 
- 1969** Gerlach, U., Haubenreich, T., Hüning\*, S.  
Stereoselektive Protonierung von Carbanionen, 4. – Enantioselektive Protonierung von Lacton-Enolaten  
Stereoselective Protonation of Carbanions, 4. – Enantioselective Protonation of Lactone Enolates
- 
- 1981** Gerlach, U., Haubenreich, T., Hüning\*, S.  
Stereoselektive Protonierung von Carbanionen, 5. – Einfluß der Reaktionsbedingungen auf die enantioselektive Protonierung von Lacton-Enolaten  
Stereoselective Protonation of Carbanions, 5. – Effects of Reaction Conditions on the Enantioselective Protonation of Lactone Enolates
- 
- 1989** Gerlach, U., Haubenreich, T., Hüning\*, S., Klaunzer, N.  
Stereoselektive Protonierung von Carbanionen, 6. – Enantioselektive Protonierung von  $\gamma$ -Butyrolacton-Enolaten  
Stereoselective Protonation of Carbanions, 6. – Enantioselective Protonation of  $\gamma$ -Butyrolactone Enolates
-

1993 Bauer\*, H., Matz, V., Lang, M., Krieger, C., Staab, H. A.

Elektron-Donor-Akzeptor-Verbindungen, 50. – Oligooxa[3n.3]paracyclophan-Chinhydrone – Kation-induzierte Charge-Transfer-Absorptionen und Strukturen der Metallkomplexe

Electron Donor-Acceptor Compounds, 50. – Oligo-oxa[3n.3]paracyclophane Quinhydrone – Cation-Induced Charge-Transfer Absorptions and Structures of the Metal Complexes

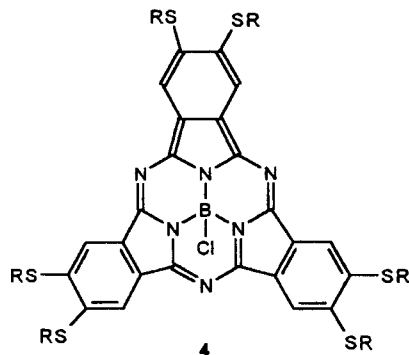


$M = \text{Na}^+, \text{Ca}^{2+}, \text{Ba}^{2+}, \text{Hg}^{2+}$        $m = 1; 2$

2009 Dabak, S., Güll, A., Bekaroğlu\*, Ö.

Hexakis(alkylthio)-substituierte unsymmetrische Phthalocyanine

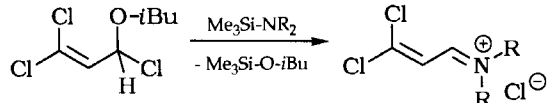
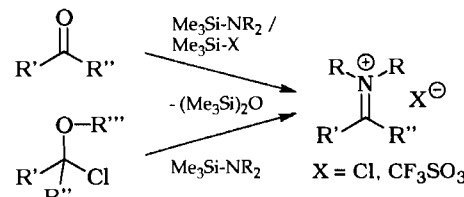
Hexakis(alkylthio)-Substituted Unsymmetrical Phthalocyanines



2013 Schroth\*, W., Jahn, U., Ströhl, D.

Neue Synthesen von Methyleniminium-Salzen aus Carbonylverbindungen und aus  $\alpha$ -Chlorethern; ein Zugang zu vinylogen Viehe-Salzen

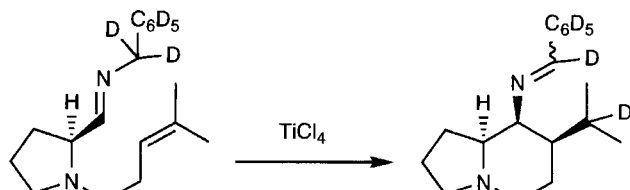
New Syntheses of Methyleniminium Salts from Carbonyl Compounds and from  $\alpha$ -Chloro Ethers; an Access to Vinylogous Viehe Salts



2023 Laschat\*, S., Grehl, M.

Diastereoselektive Synthese von  $\alpha$ -Hydroxy- und  $\alpha$ -Aminoindolizidinen und -chinolizidinen. Hinweis auf einen neuen Cyclisierungs/Hydrid-Wanderungs-Mechanismus in der  $\text{TiCl}_4$ -induzierten Reaktion von Prolinal-benzyliminen durch Deuterium-Markierungsstudien

Diastereoselective Synthesis of  $\alpha$ -Hydroxy- and  $\alpha$ -Aminoindolizidines and -quinolizidines. Evidence for a Novel Cyclization/Hydride Migration Mechanism in the  $\text{TiCl}_4$ -Induced Reaction of Prolinal Benzylimines by Deuterium Labeling Studies

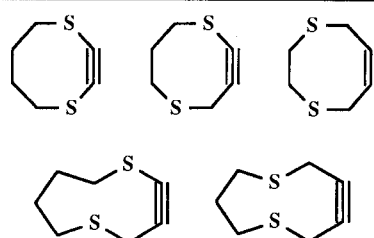


2035

Meier\*, H., Dai, Y., Schuhmacher, H., Kolhorn, H.

Dithiacyclooctine

Dithiacyclooctynes



- 2043** Bock\*, H., Rauschenbach, A., Näther, C., Kleine, M., Havlas, Z.  
Strukturen und Moleküleigenschaften ladungsgestörter Moleküle, 53. – Thianthren-Radikalkation-Tetrachloroaluminat  
Structures and Molecular Properties of Charge-Perturbed Molecules, 53. – Thianthrene Radical Cation Tetrachloroaluminate

**2051** Linßen, T. G., Hanack\*, M.  
Synthese, Trennung und Charakterisierung von unsymmetrisch substituierten Phthalocyaninen  
Synthesis, Separation and Characterization of Unsymmetrically Substituted Phthalocyanines

**2059** Boche\*, G., Langlotz, I., Marsch, M., Harms, K.  
Röntgenstrukturanalysen des Enolats von  $\alpha$ -Cyanessigsäure-*tert*-butylester mit Li<sup>+</sup> oder protoniertem 1,8-Diazabicyclo[5.4.0]undec-7-en (DBU-H<sup>+</sup>) als Gegenion. N–H-Wasserstoff-Brücke von DBU-H<sup>+</sup> zum Enolat-Sauerstoffatom  
X-Ray Crystal Structures of the Enolate of *tert*-Butyl  $\alpha$ -Cyanoacetate with Li<sup>+</sup> or Protonated 1,8-Diazabicyclo[5.4.0]undec-7-ene (DBU-H<sup>+</sup>) as Gegenion. N–H Hydrogen Bridge from DBU-H<sup>+</sup> to the Enolate Oxygen Atom

**2065** Herberg, C., Beckhaus, H.-D., Rüchardt\*, C.  
Thermolabile Kohlenwasserstoffe, 34. – Thermische Stabilität von 9,9'-Bixanthen und 9,9',10,10',10',10'-tetramethyl-9,9'-bianthracen. – Stabilisierungsenergie planarer Benzhydryl-Radikale  
Thermolabile Hydrocarbons, 34. – Thermal Stability of 9,9'-Bixanthene and 9,9',10,10',10',10'-tetrahydro-10,10,10',10'-tetramethyl-9,9'-bianthracene. – Stabilisation Energies of Planar Benzhydryl Radicals

X	a	b	c
	O	C(CH <sub>3</sub> ) <sub>2</sub>	CH <sub>2</sub>

**2073** Rademacher\*, P., Heymanns, P., Münzenberg, R., Wöll, H., Kowski, K., Poppek, R.  
Elektronische Struktur und Gasphasen-Thermolyse von 2-Tetrazenen mit acyclischen und cyclischen Aminogruppen. Untersuchung durch Photoelektronenspektroskopie  
Electronic Structure and Gas-Phase Thermolysis of 2-Tetrazenes with Acyclic or Cyclic Amino Groups Studied by Photoelectron Spectroscopy

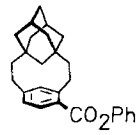
---

**2081** **Grimme\*, S., Lemmerz, R., Vögtle\*, F.**

Ein chirales Adamantanophan: Darstellung, Enantiomeren-Trennung, theoretischer und experimenteller Circulardichroismus und absolute Konfiguration

A Chiral Adamantanophane: Preparation, Enantiomer Separation, Theoretical and Experimental Circular Dichroism and Absolute Configuration

---



**2089** **Josten, W., Neumann, S., Vögtle\*, F., Nieger, M., Hägele, K., Przybylski, M., Beer, F., Müllen, K.**

Ein neues Deltaphan und bandförmige Cyclophane

A New Deltaphane and Ribbon-Shaped Cyclophanes

---

